

УДК 534-21:537.226.86

М.О. Шульга, Л.О. Григор'єва

ЗАСТОСУВАННЯ МЕТОДУ ПОСЛІДОВНИХ НАБЛИЖЕНЬ ДЛЯ АНАЛІЗУ ЕЛЕКТРОМЕХАНІЧНИХ НЕСТАЦІОНАРНИХ КОЛИВАНЬ П'ЄЗОЕЛЕКТРИЧНОГО ШАРУ ПРИ ЕЛЕКТРИЧНИХ ЗБУРЕННЯХ

Пропонується розв'язок задачі про нестационарні коливання п'єзоелектричного плоского шару при електричному збуренні методом послідовних наближень.

Для розв'язання задач електропружності, які мають малий параметр, викликаний слабкою електромеханічною зв'язаністю (малістю п'єзоелектричних модулів e_{ij}) зручно застосовувати метод послідовних наближень. В цьому методі електричні та механічні величини знаходяться в різних наближеннях через відомі з попереднього наближення значення механічних або електричних величин відповідно.

Розглядається поляризований по товщині п'єзоелектричний шар, коливання якого описуються системою рівнянь електропружності [3]

$$\rho \frac{\partial^2 u}{\partial t^2} = \frac{\partial \sigma_x}{\partial x}; \quad \frac{\partial D_x}{\partial x} = 0; \quad (1)$$

$$\sigma_x = c_{33}^E \frac{\partial u}{\partial x} + e_{33} \frac{\partial \varphi}{\partial x}; \quad D_x = e_{33} \frac{\partial u}{\partial x} - \epsilon_{33}^S \frac{\partial \varphi}{\partial x}. \quad (2)$$

На зовнішніх електродованих вільних від механічних навантажень поверхнях $x = \pm h$ шару задається різниця потенціалів $2V(t)$:

$$\varphi(\pm h, t) = \pm V(t); \quad \sigma_x(\pm h, t) = 0. \quad (3)$$

Початкові умови приймаємо нульовими:

$$u(x, 0) = 0; \quad \dot{u}(x, 0) = 0. \quad (4)$$

В отриманій початково-крайовій задачі (1)-(4) вводяться безрозмірні величини [3]:

$$\bar{x} = x/h, \quad \bar{t} = t/(h\sqrt{\rho_{00}/c_{00}}), \quad \bar{u} = u/h, \quad \bar{\sigma}_{ij} = \sigma_{ij}/c_{00}, \quad \bar{\rho} = \rho/\rho_{00},$$

$$\bar{\varphi} = \varphi \sqrt{\frac{\varepsilon_{00}}{c_{00} h^2}}, \quad \bar{D}_x = \frac{D_x}{\sqrt{c_{00} \varepsilon_{00}}}, \quad \bar{e}_{ij} = \frac{e_{ij}}{\sqrt{c_{00} \varepsilon_{00}}}, \quad \bar{c}_{ij} = \frac{c_{ij}^E}{c_{00}}, \quad \bar{\varepsilon}_{ii} = \frac{\varepsilon_{ii}^S}{\varepsilon_{00}}.$$

Надалі знаки безрозмірності опущені, всі результати представлені в безрозмірному вигляді, параметр h залишено для загальності розв'язку.

Інтегруючи рівняння для електричної індукції, визначаємо електричний потенціал через переміщення

$$\varphi(x, t) = \frac{e_{33}}{\varepsilon_{33}} \left(u(x, t) - \frac{x}{h} u(h, t) \right) + \frac{x}{h} V(t). \quad (5)$$

Рівняння руху представляється в вигляді хвильового рівняння

$$\frac{\partial^2 u}{\partial t^2} = c_1^2 \frac{\partial^2 u}{\partial x^2}, \quad (6)$$

при початкових умовах (4) та граничних умовах

$$\frac{\partial u}{\partial x}(\pm h, t) = -\frac{e_{33}}{c_{33}} \frac{\partial \varphi}{\partial x}(\pm h, t), \quad (7)$$

де $c_1 = \sqrt{(c_{33} + e_{33}^2 / \varepsilon_{33}) / \rho}$ – швидкість поширення хвилі в електропружному середовищі в напрямку поляризації.

В нульовому наближенні маємо задачу про розподіл потенціалу в діелектричному плоскому шарі, розв'язок якої має вигляд $\varphi^{(0)} = xV(t) / h$.

Наближення для механічних змінних антисиметричні по переміщеннях і симетричні по напруженнях відносно серединної площини шару. Таким чином, в першому наближенні маємо задачу, яка описується хвильовим рівнянням (6) при нульових початкових умовах та граничних умовах

$$u^{(1)}(0, t) = 0, \quad \frac{\partial u^{(1)}}{\partial x}(h, t) = -\frac{e_{33}}{hc_{33}} V(t). \quad (8)$$

Розв'язок отриманої задачі шукається за допомогою методу характеристик [2].

В другому та наступних наближеннях, де n – парне, електричний потенціал визначається за формулою, що впливає з (5):

$$\varphi^{(n)}(x, t) = \frac{e_{33}}{\varepsilon_{33}} \left(u^{(n-1)}(x, t) - \frac{x}{h} u^{(n-1)}(h, t) \right) + \frac{x}{h} V(t). \quad (9)$$

Переміщення в непарних наближеннях $n = 3, 5, 7 \dots$ знаходяться з рівняння (6) при нульових початкових умовах та граничних умовах (7), що враховують (9):

$$u^{(n)}(0, t) = 0,$$

$$\frac{\partial u^{(n)}}{\partial x}(h, t) = -\frac{e_{33}^2}{c_{33}\varepsilon_{33}} \left(\frac{\partial u^{(n-2)}}{\partial x}(h, t) - \frac{1}{h} u^{(n-2)}(h, t) \right) - \frac{e_{33}}{c_{33}} \frac{V(t)}{h}. \quad (10)$$

Механічні напруження знаходяться за допомогою виразу

$$\sigma_x^{(n)} = c_{33}^E \frac{\partial u^{(n)}}{\partial x} + e_{33} \frac{\partial \varphi^{(n-1)}}{\partial x}.$$

Кількість необхідних наближень методу послідовних наближень залежить від величини п'єзоелектричних модулів та часового інтервалу.

Проведемо аналіз електромеханічного стану п'єзоелектричного шару при безрозмірних сталих $e_{33} = 0.3$, $c_{33} = 1$, $\rho = 1$, $\varepsilon_{33} = 1$. Аналогічно до [1] розглянемо раптово прикладену постійну електричну напругу $V(t) = V_0 H(t)$, $V_0 = 1$, де $H(t)$ – функція Хевісайда.

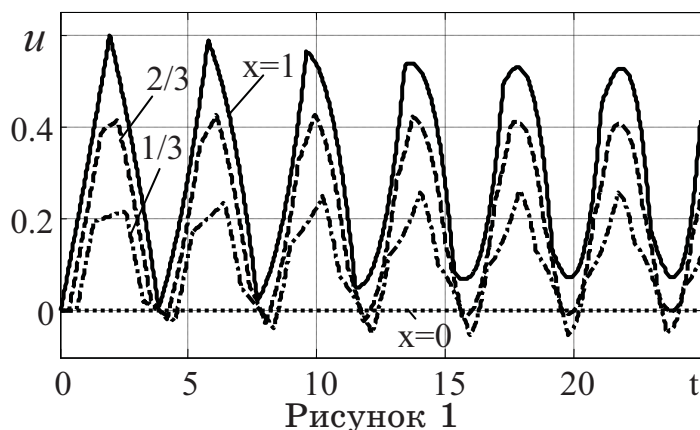


Рисунок 1

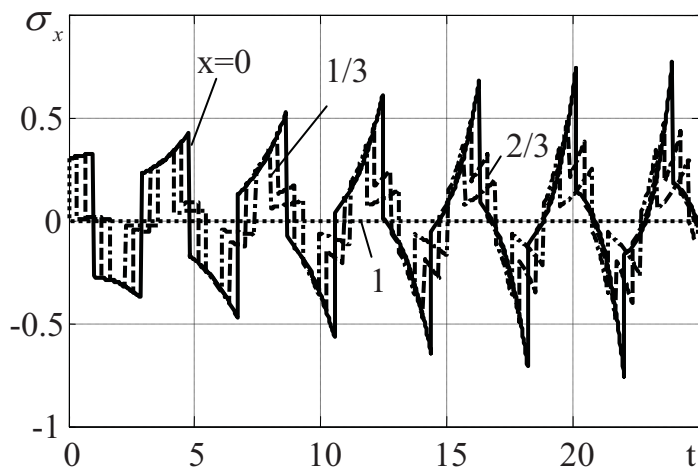


Рисунок 2

Рис. 1 та рис. 2 ілюструють зміну механічних переміщень та напружень в різних точках перерізу відповідно, отримані в сьомому наближенні методу.

З моменту прикладання навантаження від вільних поверхонь починають поширюватися хвилі переміщень зі швидкістю c_1 . Електромеханічний стан тіла змінюється періодично. Максимальні переміщення $u_{\max} = 0.6$ виникають на першому інтервалі, надалі чіткість

зломів та амплітуда коливань кривих переміщень зменшується. Потрібно відмітити, що напруження в перерізі шару виникають миттєво, і до моменту приходу в цю точку переміщень з вільних поверхонь повністю визначаються електричним потенціалом. На кривих механічних напружень та переміщень в околі кількох перших стрибків спостерігаються горизонтальні ділянки, які надалі стають похилими. Екстремуми кривих переміщень з часом зменшуються, тоді як напруження зростають.

ЛИТЕРАТУРА

1. Баженов В.М., Улитко А.Ф. Исследование динамического поведения пьезокерамического слоя при мгновенном электрическом нагружении // Прикл. механика. –1975. – 11, №1– С. 22–27.
2. Положий Г.М. Рівняння математичної фізики.– К.: Радянська школа, 1959. – 480 с.
3. Шульга Н.А., Болкисев А.М. Колебания пьезоэлектрических тел.– К: Наук. думка, 1990.– 228 с.

Получено 23.01.2009г.